

7 - 9 1995 年兵庫県南部地震前の地震活動 (続報)

Seismic activity prior to the 1995 Hyogoken-Nanbu earthquake of M7.2 (2)

日本大学 茂木 清夫
Nihon Univ. Kiyoo Mogi

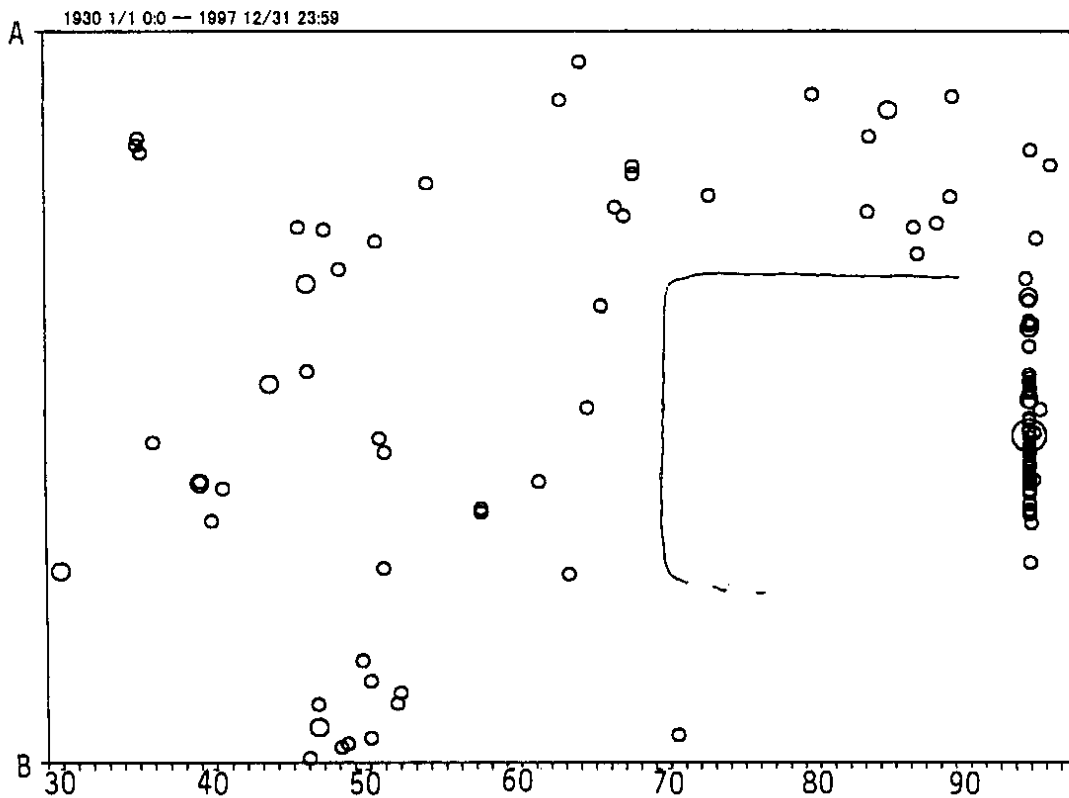
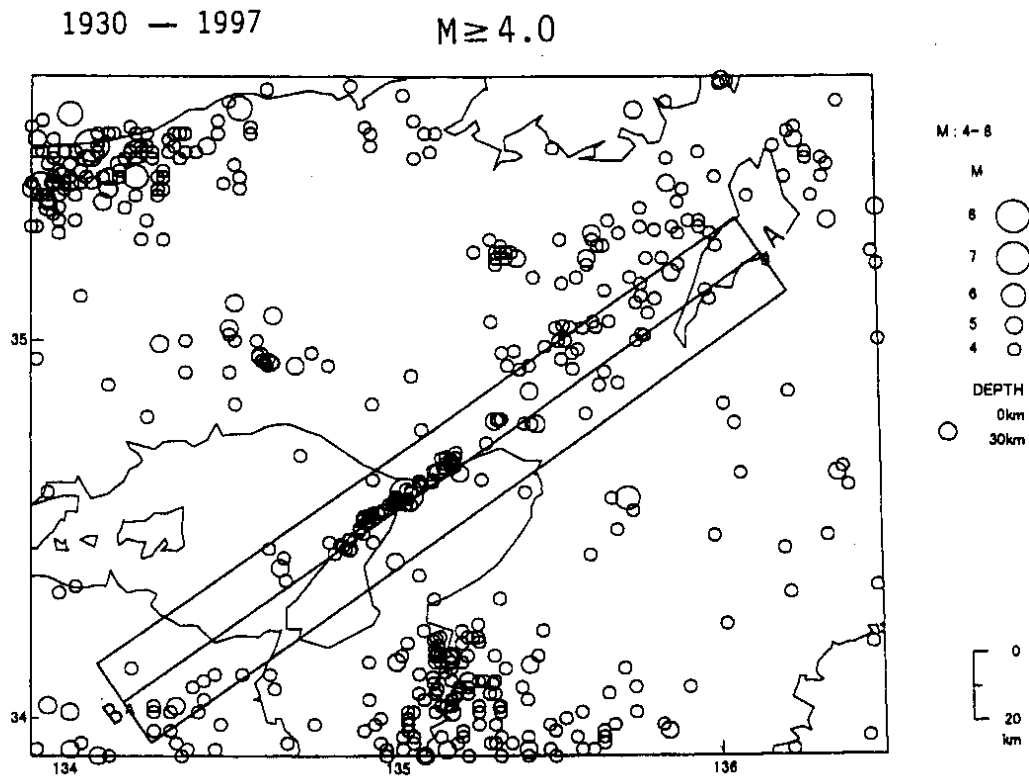
さきに、1995 年兵庫県南部地震の前に、その震源域一帯の活動が長期的に低下していたことを報告したが、今回はそのことを時空間分布図で示す。第 1 図は M4.0 以上の地震について、上の図の短形の範囲内に起こった地震の時空間分布を示したもの(下図)である。震源域では約 30 年にわたって静穏であったことがよくわかる。その前はかなり活動的であった。

第 2 図は同様の図を 1990 年以降の M3.0 以上の地震について示したものである。地震の 1 年ほど前に、震源域の両端近傍で活動があるのに、震源域内は静穏であった。

つまり、M4.0 以上の地震では 30 年ほど前から、M3.0 以上の地震では 2 年位前から静穏であった。データは気象庁による。さらに小さい地震の起こり方の検討を進めている。

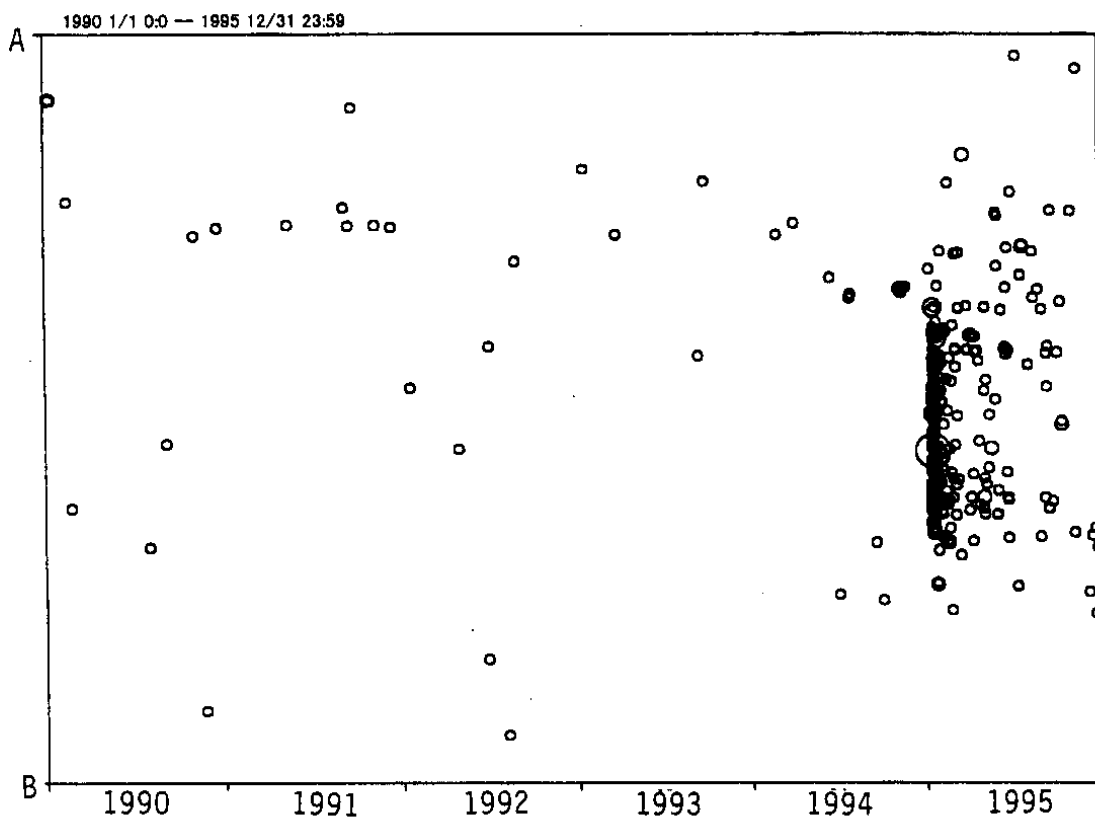
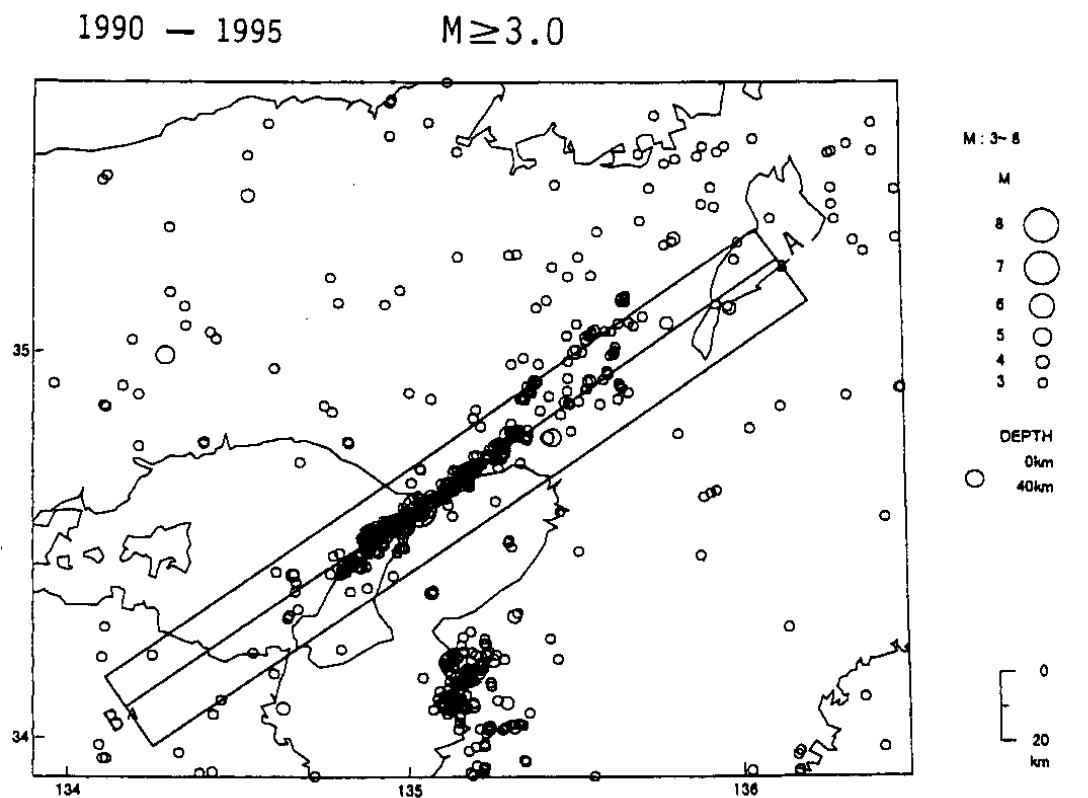
参 考 文 献

- 1) 石川有三・中村浩二, SEIS - PC for Windows 95, 地球惑星科学関連学会 1997 年合同大会予稿集, P.78, 1997.



第 1 図 1995 年兵庫県南部地震の震源域を含む上図の矩形内で、1930 年以降起こった $M4.0$ 以上の浅い地震の時空間分布図 (下図)。データは気象庁。

Fig.1 Bottom : Space-time distribution of shallow earthquakes of $M4.0$ and over which occurred in the rectangular area including the focal region of the 1995 Hyogoken-nanbu earthquake of $M7.2$, shown in the top figure.



第 2 図 1995 年兵庫県南部地震の震源域を含む上図の矩形内で、1990 年以降起こった $M3.0$ 以上の浅い地震の時空間分布図 (下図)。データは気象庁。

Fig.2 Bottom : Space-time distribution of shallow earthquakes of $M3.0$ and over which occurred in the rectangular area including the focal region of the 1995 Hyogoken-nanbu earthquake, shown in the top figure.